

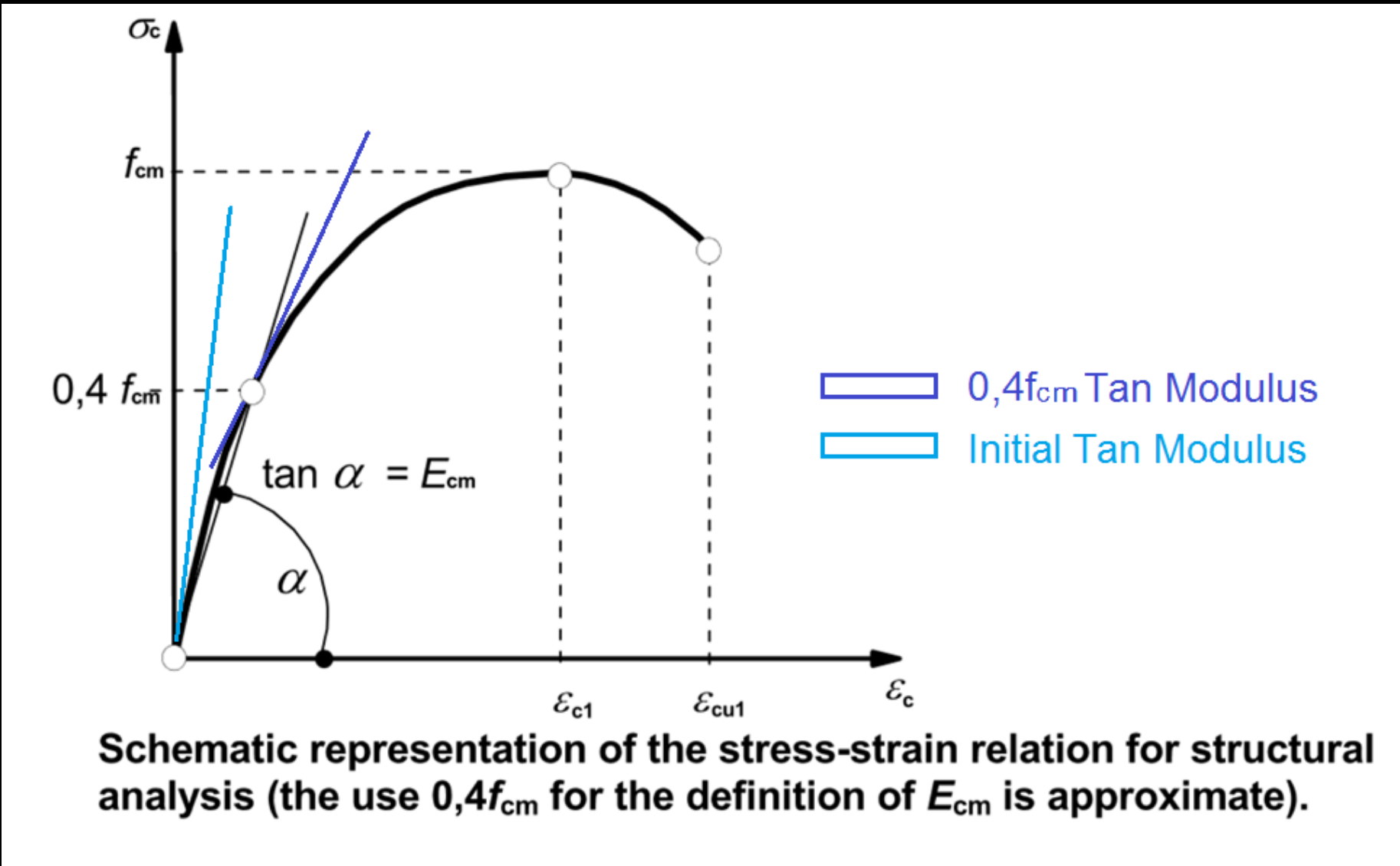
Badanie modułu sprężystości betonu jako komplementarne uzupełnienie badań na ściskanie

KDiM PL, SLK

II Lubelska Konferencja Techniki Drogowej

Lublin, 28-29 listopad 2018

EN 1992-1-1:2004 (E)

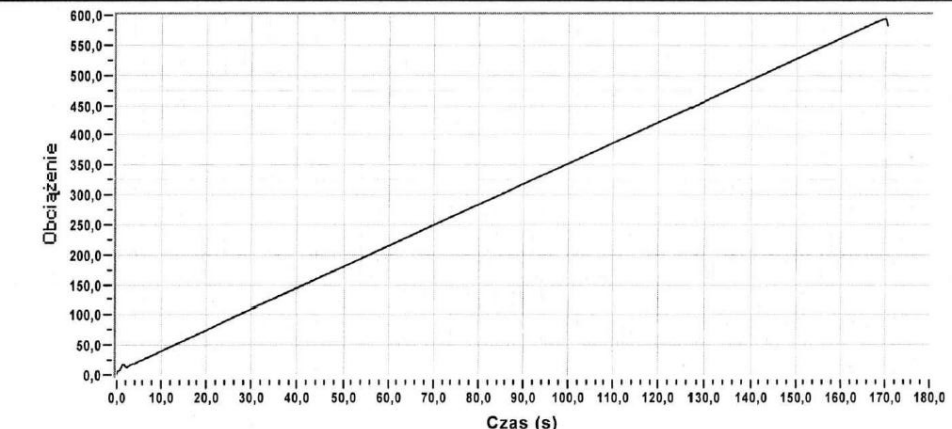


Badanie wytrzymałości na ściskanie betonu : EN 12390-3

Numer certyfikatu : ... Data certyfikatu : 2014-05-07
 Urządzenie badawcze : ADVANTEST9
 Klient : GDDKiA O/Lublin
 Kontakt :
 Rodzaj próbki : walec Zawartość cementu :
 Rodzaj cementu : portl Data przygotowania : YYYY-MM-DD
 Dane próbki:
 Recepta : Czas próbki :
 Miejsce pobrania próbki : most Annopol Data próbki : YYYY-MM-DD
 Przygotowanie próbki :
 Nazwa próbki : walec 3

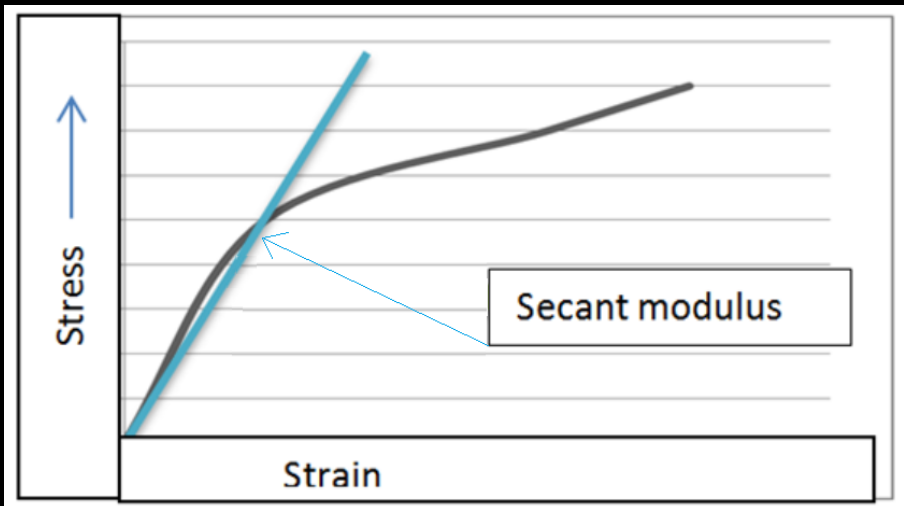
Wynik badania

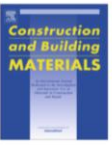
Wymiary	d(mm)	94,0	h(mm)	99,5	Masa (Kg) : 1,813
Waga (Kg/m³)	: 2625,6			Przyrost obciążenia MPa/s : 0,500	
Powierzchnia (mm²)	: 6939,8			Wiek :	
Obciążenie niszczące (kN)	: 593,6			Data badania : 2014-05-07	
Zniszczona próbka	: Satysfakcyjny			Naprężenie (MPa) : 85,54	

**Notatki**

Operator
mgr Kazimierz Słowiak

Żadna część tych certyfikatów nie może być powielana bez pozwolenia





Determining the Young's modulus of concrete by measuring the eigenfrequencies of concrete and reinforced concrete beams

Michał Musiał*, Jacek Grośel

Wrocław University of Technology, Faculty of Civil Engineering, Wybrzeże Wyspiańskiego 27, 50-370 Wrocław, Poland

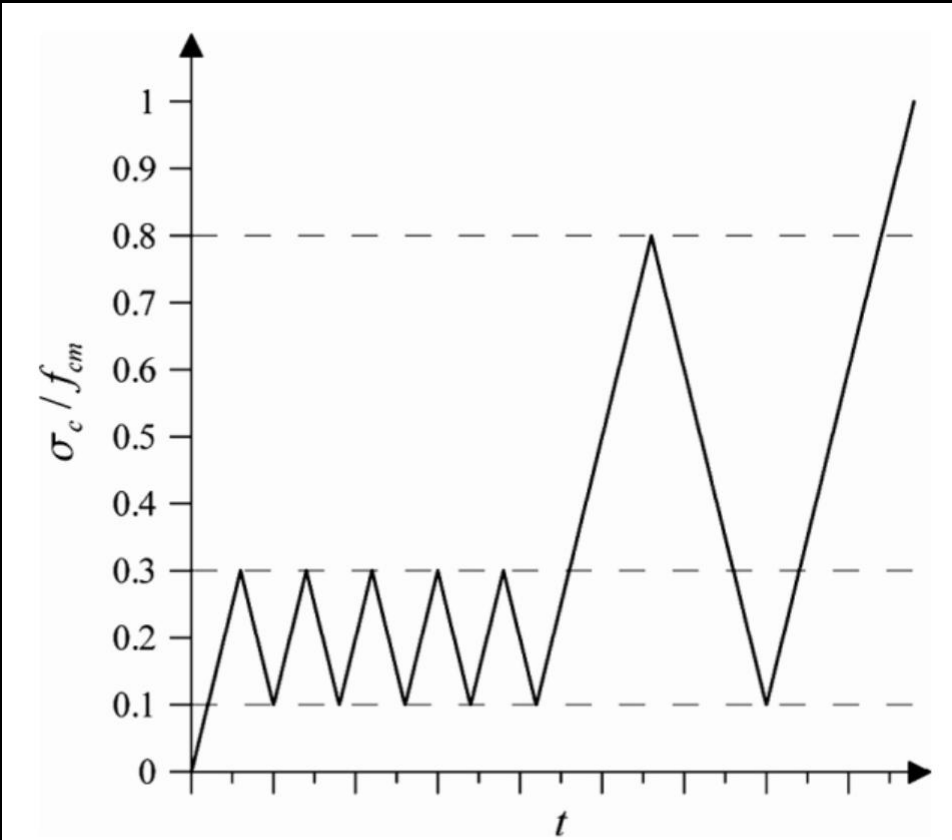


Fig. 3. Loading plan for testing Young's modulus of concrete.

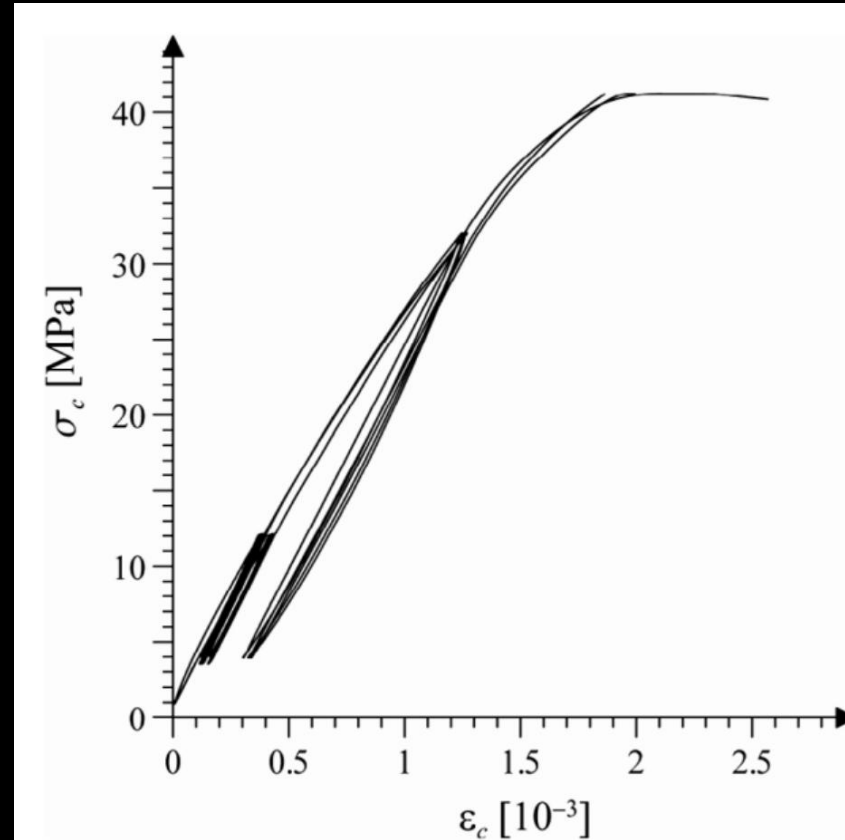


Fig. 5. Sample stress-strain curves.

Norma: PN-EN 12390-13

Wprowadza
EN 12390-13:2013, IDT

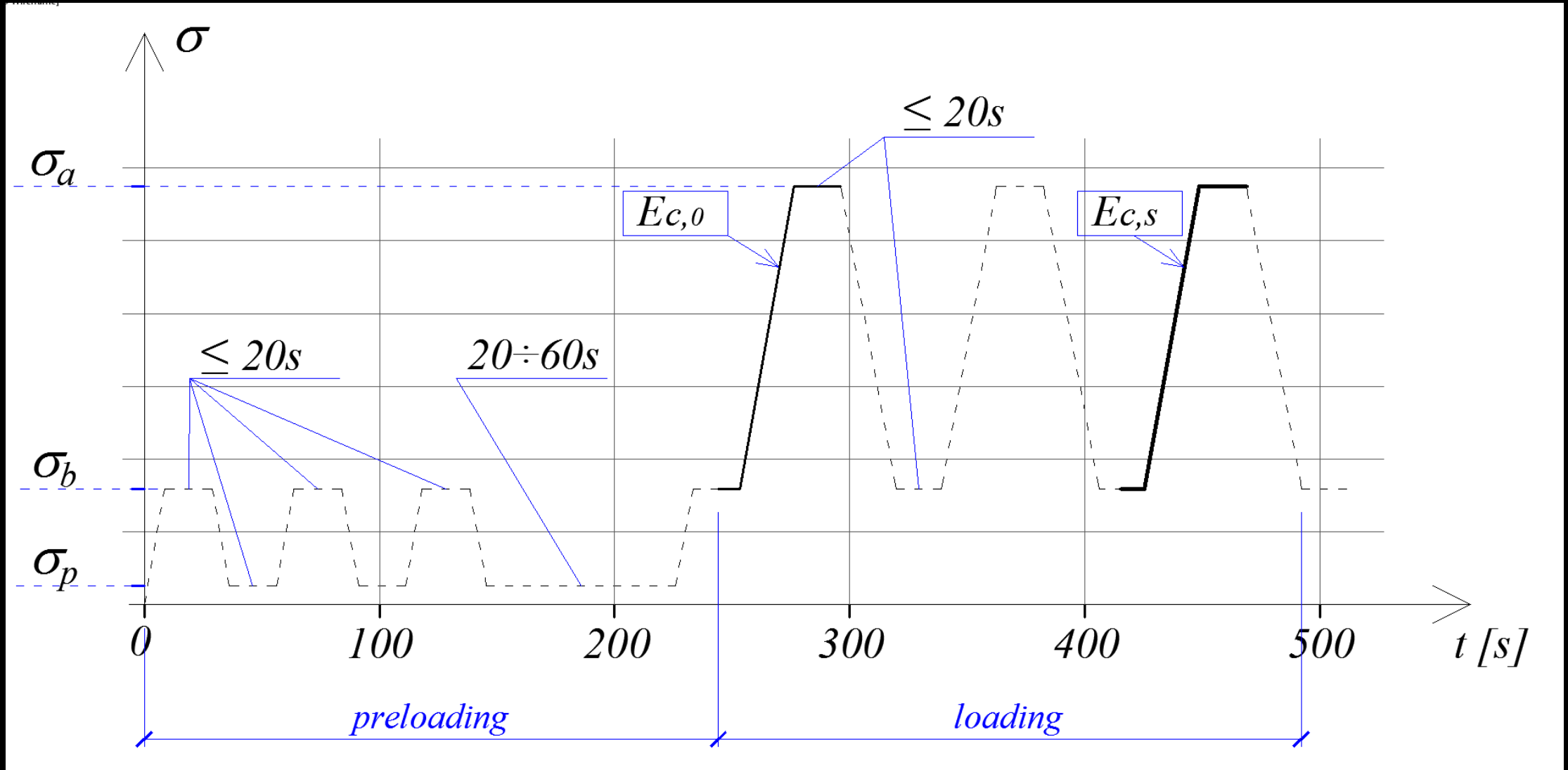
Zastępuje
-

Badania betonu Część 13: Wyznaczanie siecznego modułu sprężystości przy ściskaniu

Norma Europejska EN 12390-13:2013 *Testing hardened concrete - Part 13: Determination of secant modulus of elasticity in compression* ma status Polskiej Normy

- EN 12390-1:2009. Testing hardened concrete – Part 1: Shape, dimensions and other requirements of specimens and moulds
- EN 12390-2:2009. Testing hardened concrete – Part 2: Making and curing specimens for strength tests
- EN 12390-3:2009. Testing hardened concrete – Part 3: Compressive strength of test specimens
- EN 12390-4:2010. Testing hardened concrete – Part 4: Compressive strength – Specification for testing machines

Test cycle



Stress limits

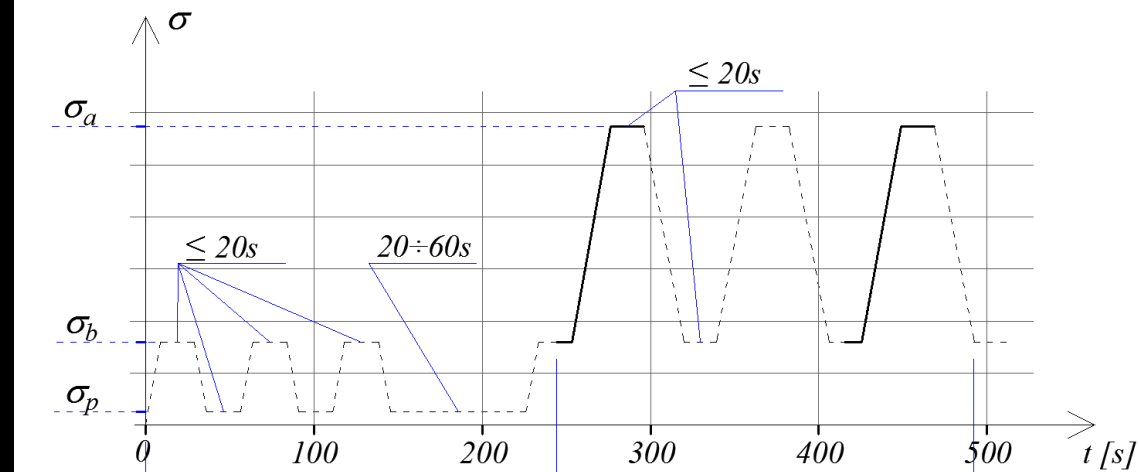
load rate $0,6(\pm 0,2)$ MPa/s

f_c – compressive strength of concrete determined by testing

σ_p – preload stress $0,5$ MPa $\leq \sigma_p \leq \sigma_b$

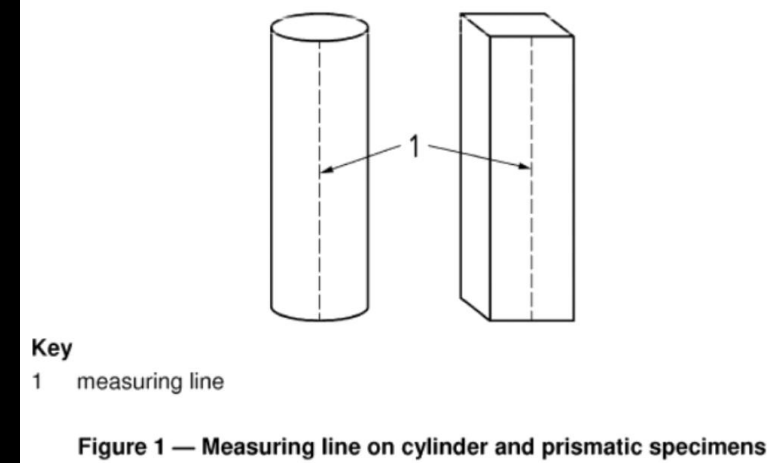
σ_b – lower stress $0,10 f_c \leq \sigma_b \leq 0,15 f_c$ ($f_c / 9$)

σ_a – upper stress $f_c / 3$

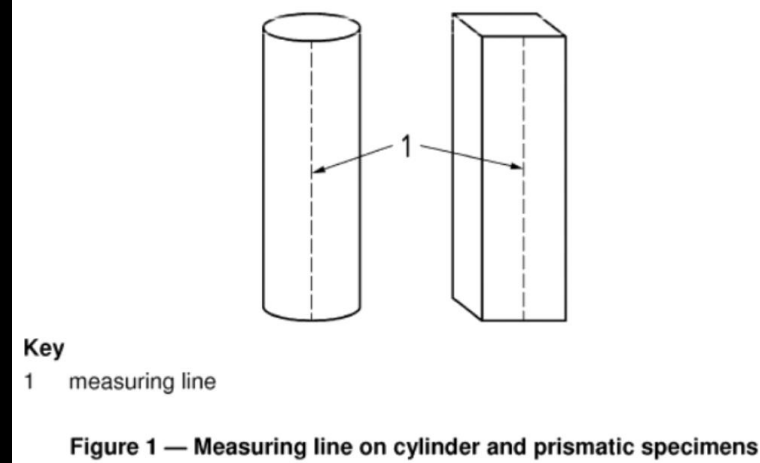


Test specimens

- Cylinder or prism
- The base of strain measuring instrument shell be between $2/3 d$ and $1/2$ of L and not less than $3D_{max}$
- d – diameter or section width of specimen
- L – specimen hight
- D_{max} – coarsest fraction of aggregates



Test specimens

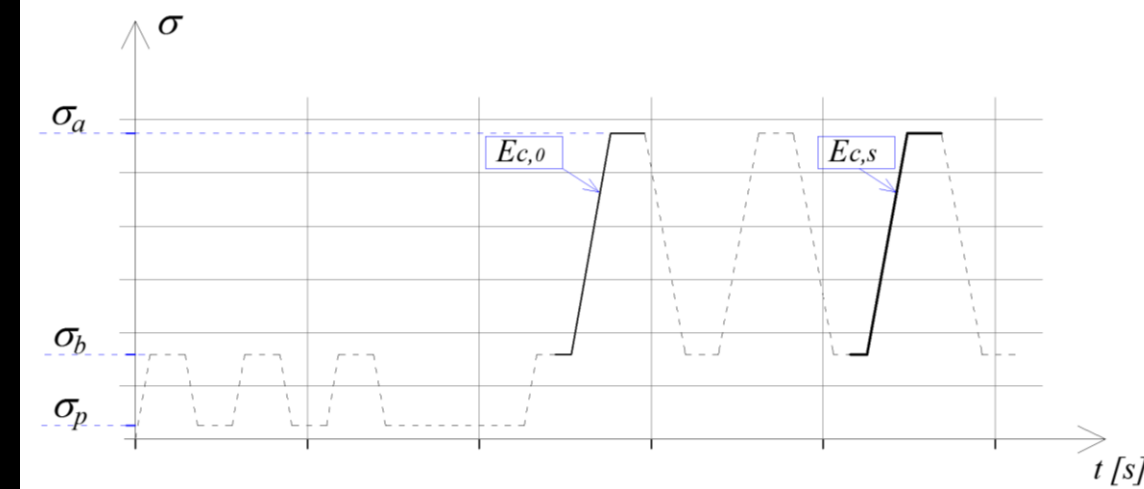


- If $3,5 \leq L / d \leq 4$ than the base can be increased to $2/3 L$
- Recommended test specimen – cylinder $d=15 \times h=30$ cm
- Specimen can be moulded one or drilled core
- **At least :** $d \geq D_{max}$ and $2 \leq L / d \leq 4$

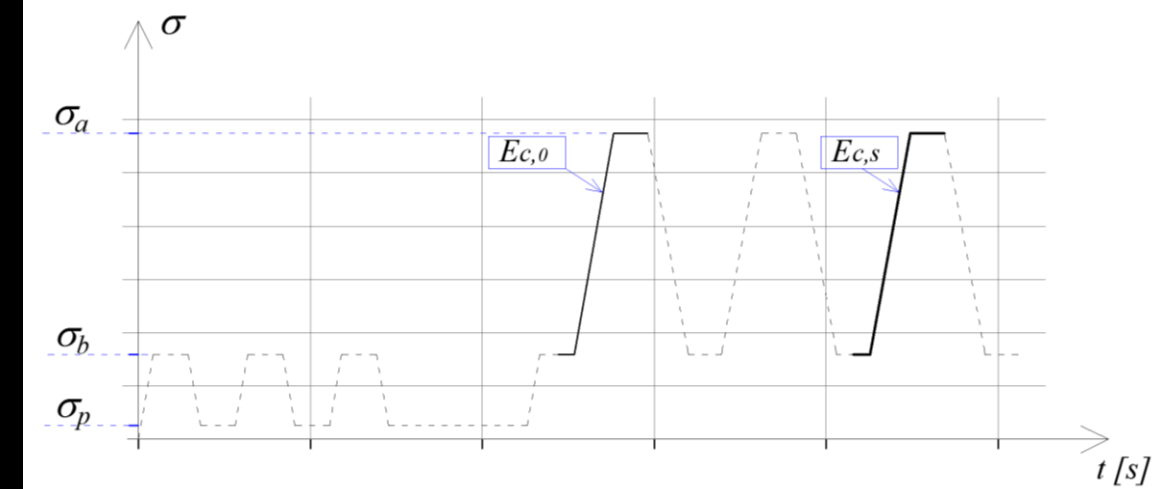
Method A :

$E_{c,0}$ – initial secant modulus

$E_{c,s}$ – stabilized sec. modulus

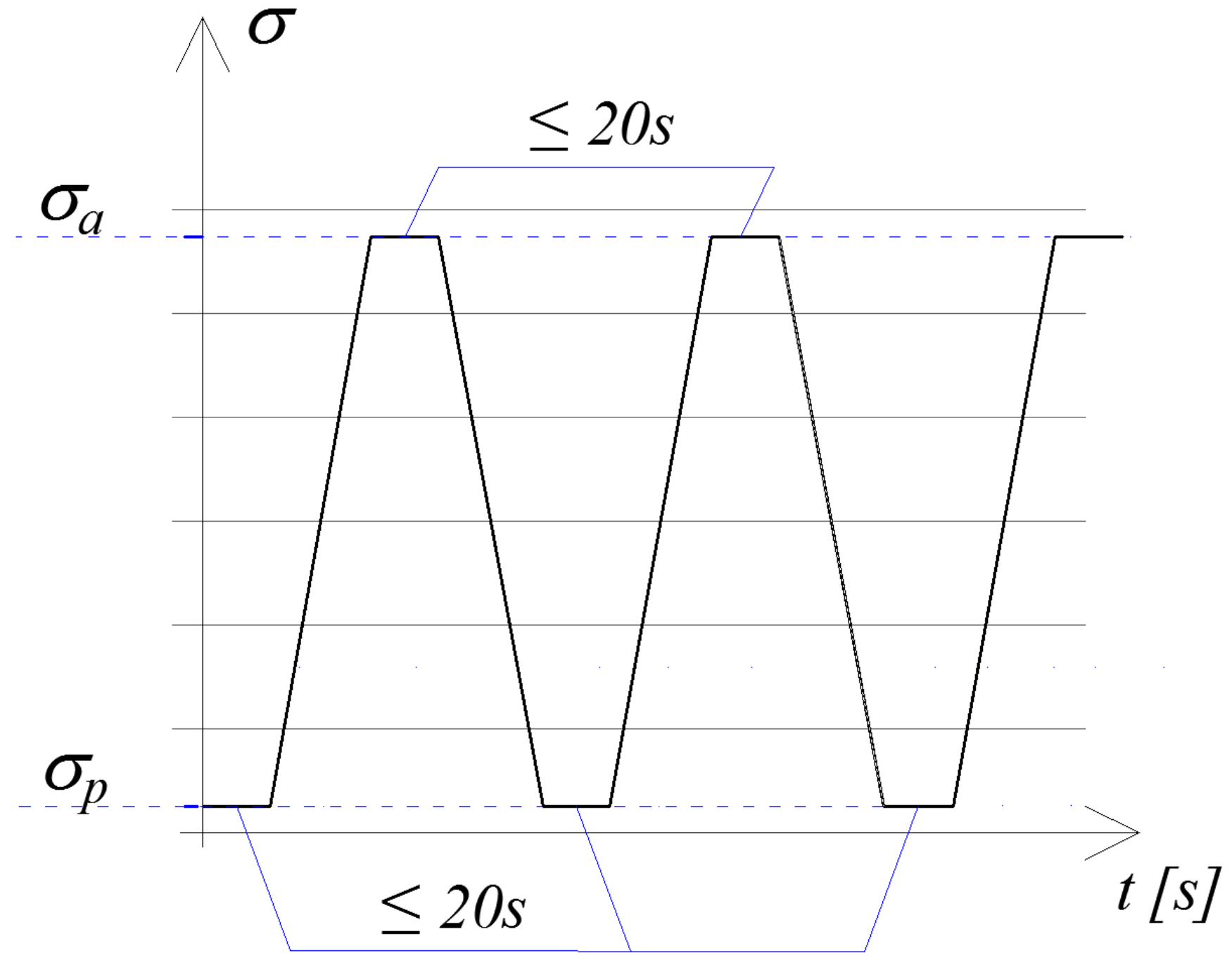


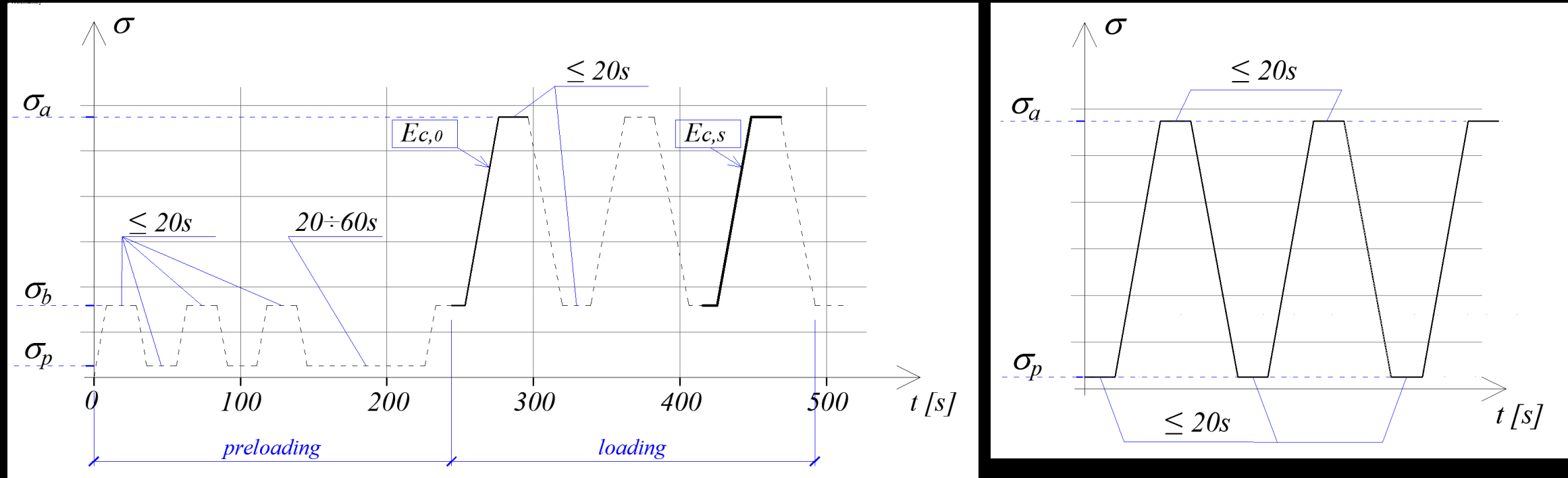
- f_c shall be determined (EN 12390-3) on companion specimens, preferably having the same shapes as the specimen
- The preloading cycles checks **wiring stability** and **specimen positioning**
- Repeat cycles and record ε_b values which should be not differ from the average by more 20%



- Record the strains value ε_b and calculate the average
- At the end of upper stress of the 1th and 3rd cycles record the corresponding strains $\varepsilon_{a,1}$, $\varepsilon_{a,3}$

Method B :
 $E_{c,s}$ -
stabilized sec.
modulus





Calculation of Secant Modulus

Initial secant modulus

– Method A

$$E_{C,0} = \frac{\Delta\sigma}{\Delta\varepsilon_0} = \frac{\sigma_a^m - \sigma_b^m}{\varepsilon_{a,1} - \varepsilon_{b,0}}$$

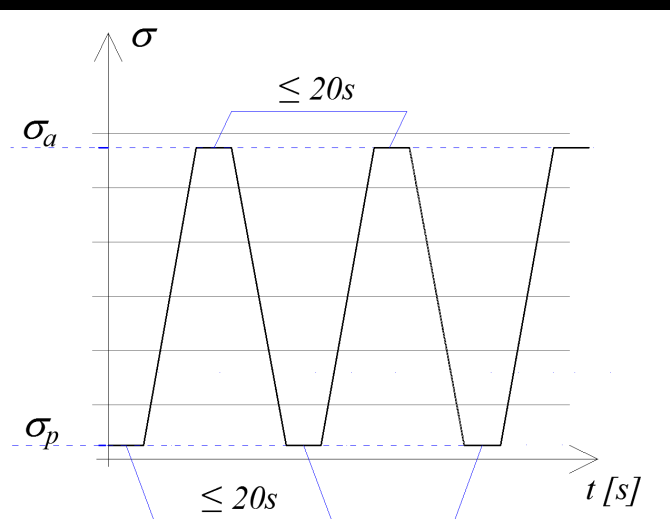
Stabilized secant modulus

- Method A

$$E_{C,S}^{(A)} = \frac{\Delta\sigma}{\Delta\varepsilon_s} = \frac{\sigma_a^m - \sigma_b^m}{\varepsilon_{a,3} - \varepsilon_{b,2}}$$

Stabilized secant modulus

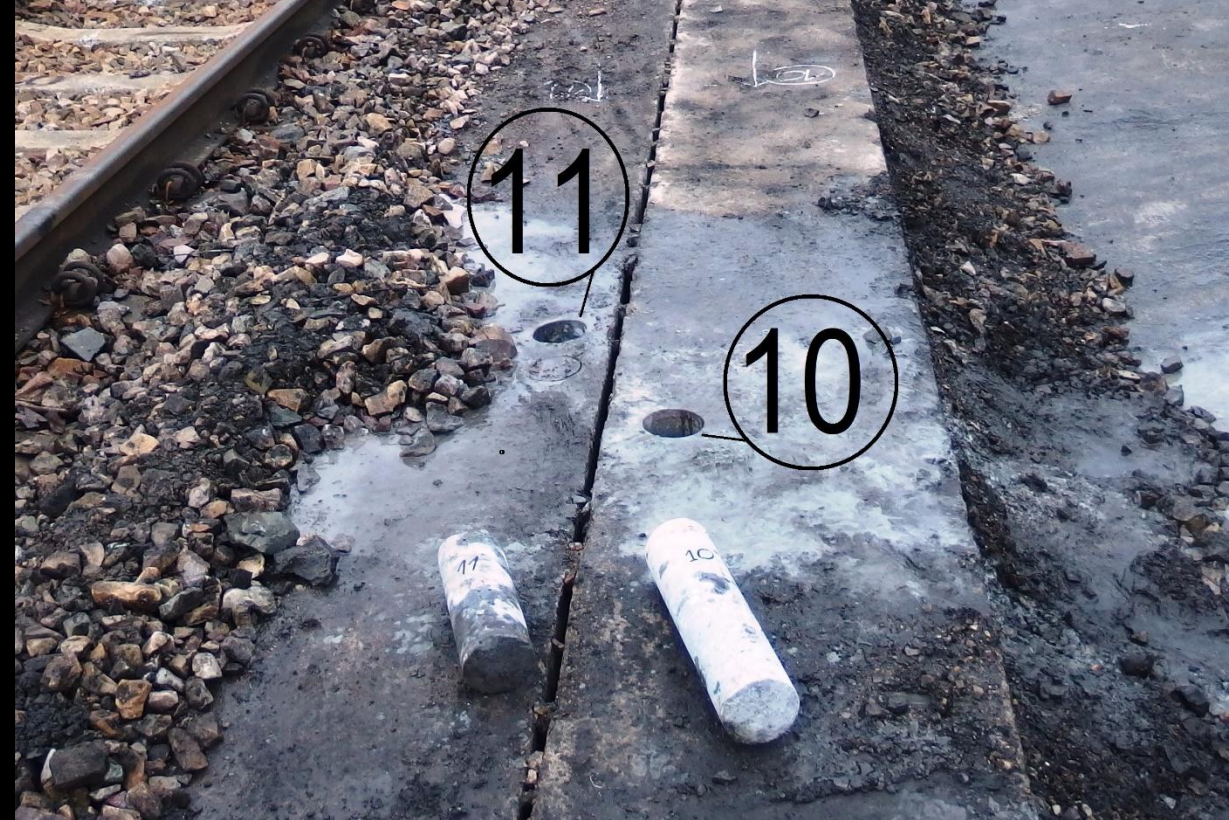
- Method B



$$E_{C,S}^{(B)} = \frac{\Delta\sigma}{\Delta\varepsilon_s} = \frac{\sigma_a^m - \sigma_p^m}{\varepsilon_{a,3} - \varepsilon_{p,2}}$$

Wiadukt kolejowy

- Wiadukt budowano w latach 1964-65.
- Był zaprojektowany na obciążenie wg NC D64 z 1954 r.
- Schemat statyczny – belka ciągła, ukos prawy $\pi/4$
- Ustrój nośny - koryto balastowe żelbetowe sprężone



Nr rdzenia	Nr próbki	Wymiary próbki		Pole [mm ²]	Objetość [mm ³]	Masa [kg]	Gęst,obj. [kg/m ³]	Siła [kN]	f _{is} [MPa]
		d [mm]	h [mm]						
1	1.a	99.5	100.7	7775.64	783006.76	1.780	2273.29	307.6	39.56
	1.b	99.5	100.8	7775.64	783784.33	1.748	2230.21	281.2	36.16
	1.c	99.5	101.8	7775.64	791559.97	1.784	2253.78	304.0	39.10
2	2.a	99.5	101.1	7775.64	786117.02	1.863	2369.88	437.3	56.24
	2.a	99.5	99.8	7775.64	776008.69	1.826	2353.07	502.2	64.59
	2.c	99.4	101.2	7760.02	785313.68	1.840	2343.01	546.6	70.44
10	10.a	99.5	101.6	7775.64	790004.84	1.934	2448.09	573.0	73.69
	10.b	99.5	101.1	7775.64	786117.02	1.830	2327.90	759.9	97.73
	10.c	99.5	101.4	7775.64	788449.71	1.816	2303.25	709.3	91.22
11	11.a	99.5	100.8	7775.64	783784.33	2.015	2570.86	806.4	103.71
	11.b	99.5	101.6	7775.64	790004.84	1.941	2456.95	866.3	111.41
12	12.a	99.5	101.2	7775.64	786894.58	2.039	2591.20	709.1	91.20
	12.b	99.6	98.5	7791.28	767440.63	1.883	2453.61	659.9	84.70
	12.c	99.6	103.5	7791.28	806397.01	2.032	2519.85	606.6	77.86

Tablica 4.3.1. Ustrój nośny

Nr rdzenia	Nr próbki	Wymiary próbki		Pole [mm ²]	Objetość [mm ³]	Masa [kg]	Gęst,obj. [kg/m ³]	Siła [kN]	f _{is} [MPa]
		d [mm]	h [mm]						
10	10.a	99.5	101.6	7775.64	790004.84	1.934	2448.09	573.0	73.69
	10.b	99.5	101.1	7775.64	786117.02	1.830	2327.90	759.9	97.73
	10.c	99.5	101.4	7775.64	788449.71	1.816	2303.25	709.3	91.22
11	11.a	99.5	100.8	7775.64	783784.33	2.015	2570.86	806.4	103.71
	11.b	99.5	101.6	7775.64	790004.84	1.941	2456.95	866.3	111.41
12	12.a	99.5	101.2	7775.64	786894.58	2.039	2591.20	709.1	91.20
	12.b	99.6	98.5	7791.28	767440.63	1.883	2453.61	659.9	84.70
	12.c	99.6	103.5	7791.28	806397.01	2.032	2519.85	606.6	77.86

Matoda B

$$k(n=8) = 6$$

$$f_{ck, is} = f_{m(n), is} - k$$

$$f_{ck, is} = f_{is, \text{lowest}} + 4$$

OdchStand =	12.73
Średnia = f _{m(n)} =	91.44
ni =	0.14
f _{is, lowest} =	73.69
f _{m(n), is} - k =	85.44
f _{is, lowest} + 4 =	77.69
f _{ck, is} =	77.69

Na podstawie tablicy 1. z normy PN-EN 13791 znajdujemy odpowiednik oznaczenia analogicznego do klasy wg PN-EN 206-1 w chwili badania równą **C80/95**.

Dokonując sprowadzenia wartości średniej do 28 dni po wykonaniu betonu znajdujemy

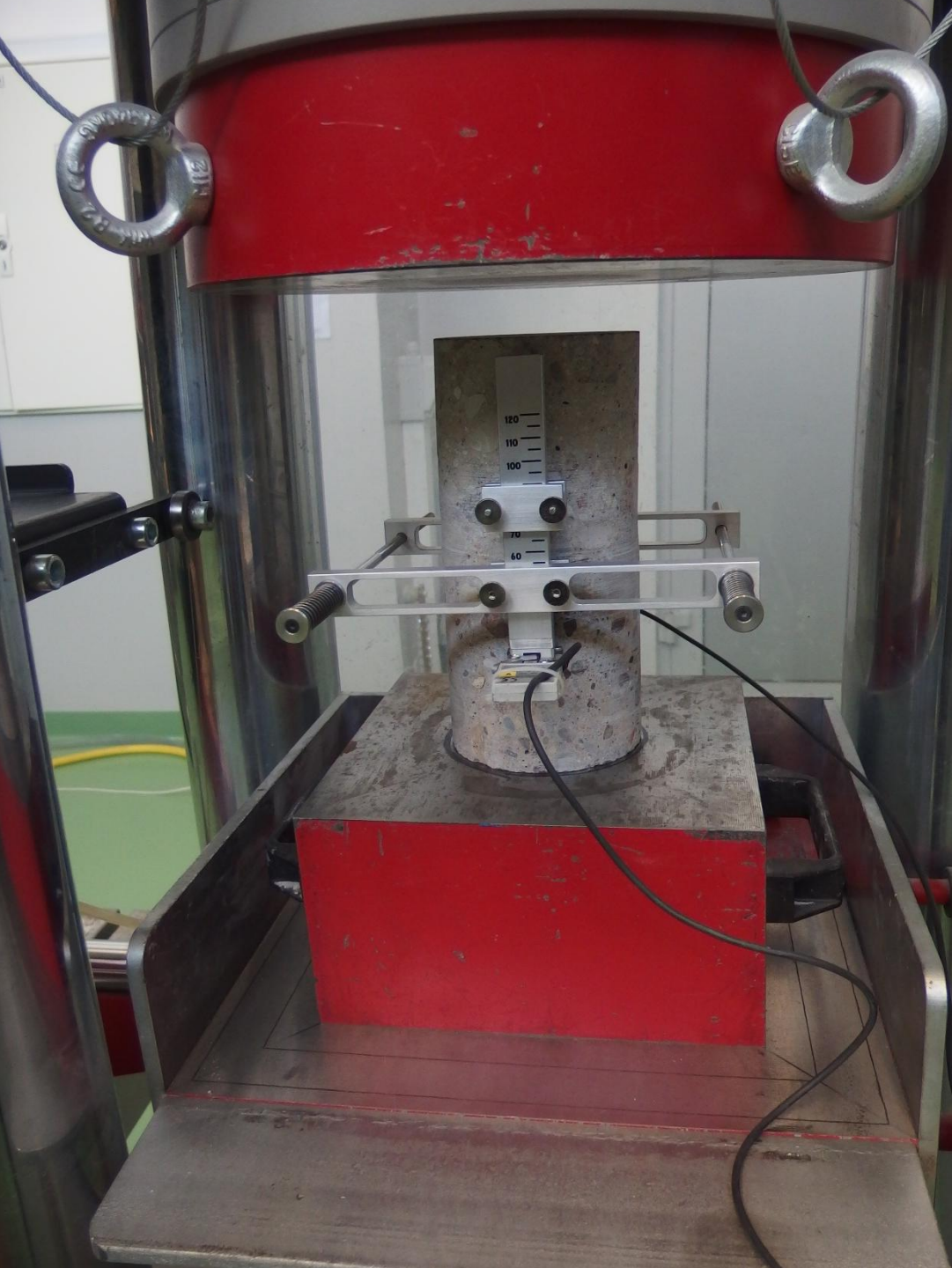
$$f_{cm} = 91.44 / 1,272 = 71,89 \text{ MPa.}$$

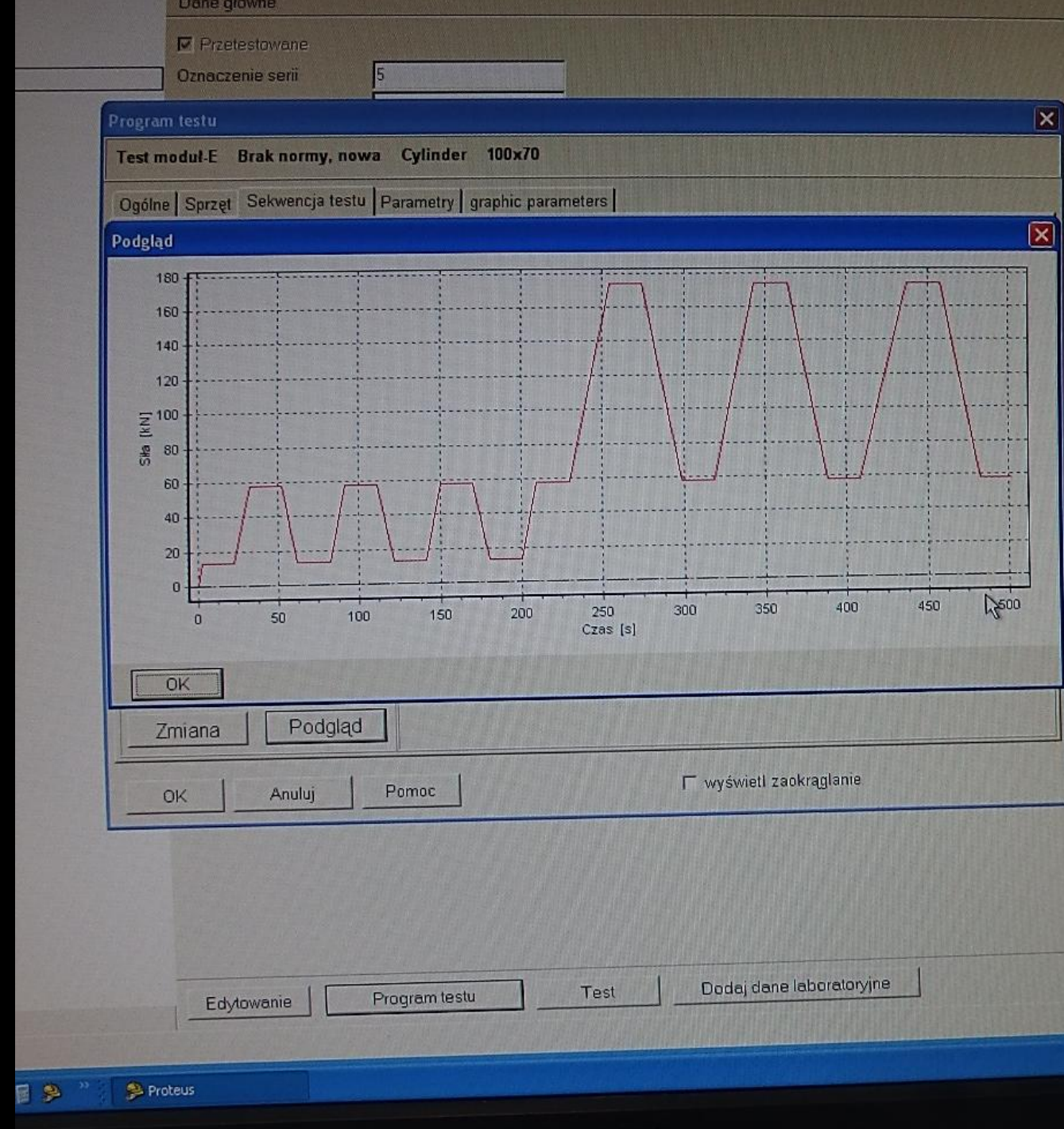
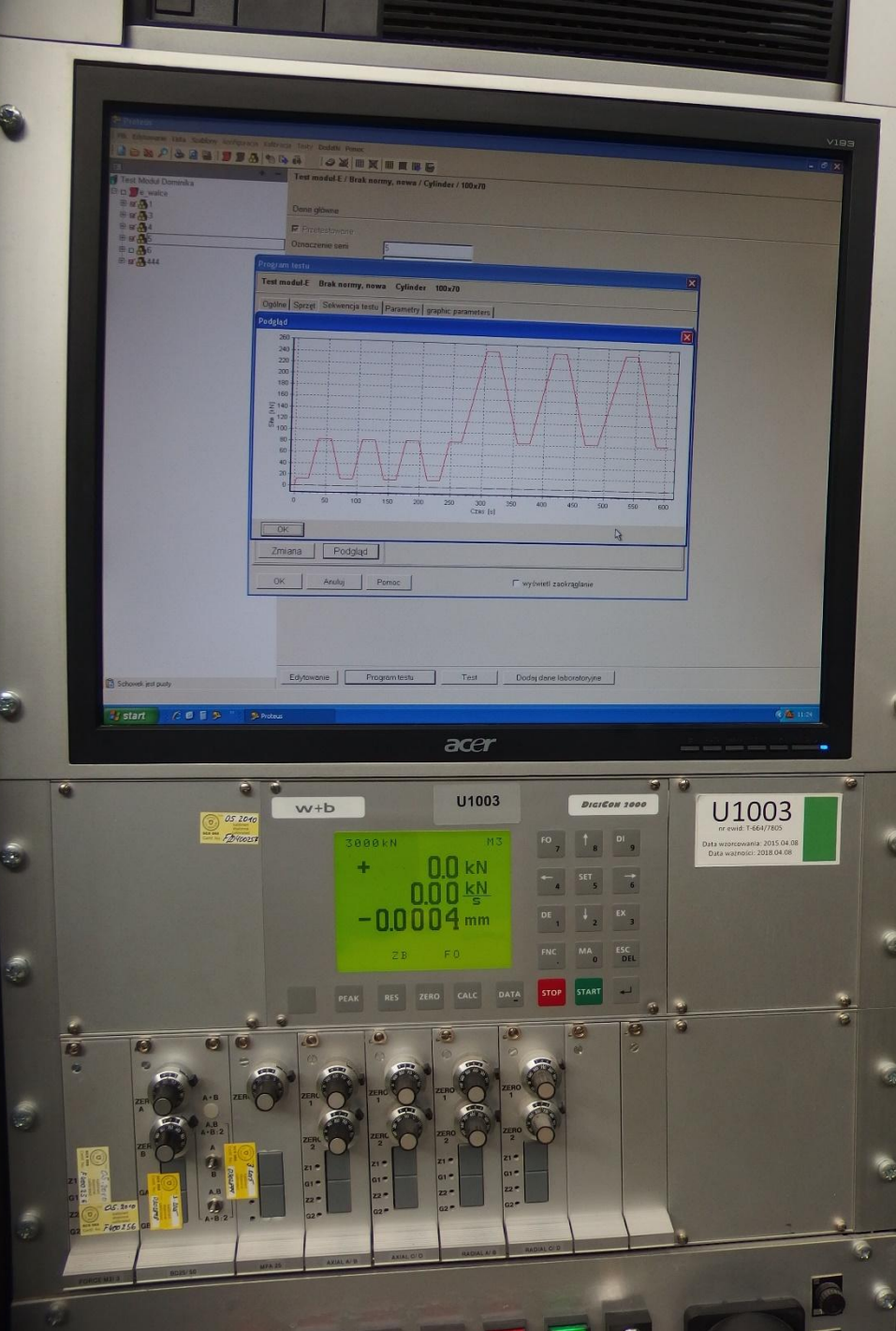
a stąd na podstawie tablicy 3.1 znajdujemy klasę betonu (po 28 dniach) **C60/65**.



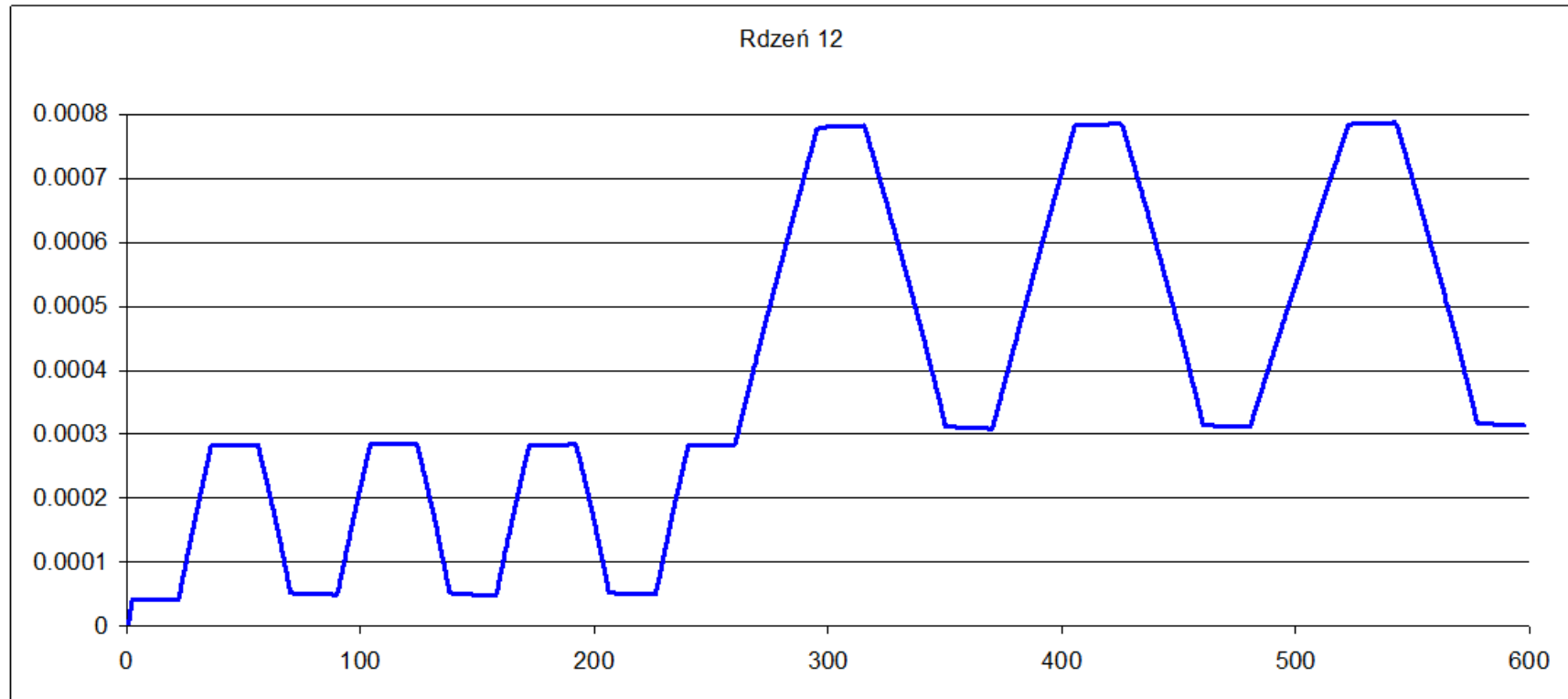
Programowanie cykli obciążenie - odciążenie

	Rygiel Rdzeń 3	Ł.Podłoż Rdzeń 8	Ustrój Rdzeń 12
	[kN]		
$\sigma_b - F_b$	58	54	83
$\sigma_a - F_a$	174	163	248





Tablica 2.10. Wyznaczanie E_{cm} . Ustrój nośny - Rdzeń 12



F [N]	S[MPa]	del(śr)	Eps(śr)	E_{cm} [GPa]
91335	11.746	0.0217	0.00031	37.89
248095	31.907	0.0543	0.00078	41.10
	20.160		0.00047	

$$E_{c0} = 43.23 \text{ [GPa]}$$

83025	10.678	0.0218	0.00031	34.29
247355	31.812	0.0548	0.00078	40.65
	21.134		0.00047	

$$E_{cs} = 44.85 \text{ [GPa]}$$

Wnioski:

Wyniki obejmują po dwie wartości: E_{c0} - moduł początkowy oraz $E_{cs}=E_{cm}$ - moduł ustabilizowany, który jest wielkością poszukiwaną.

W tablicy poniżej zestawiono pomierzone wartości, przy czym odniesiono je do wartości średniej z próbek rdzeniowych odpowiednio do badanych rdzeni.

Tablica 2.11. Wyznaczanie E_{cm} . Zestawieniowe wyniki z testów na E_{cm} przy ściskaniu

Nr rdzenia	Nazwa elementu	E_{c0} [GPa]	$E_{cs}=E_{cm}$ [GPa]	Wyniki ściskania [MPa]			f_{cm} [MPa]	$f_{cm}(E_{cm})$ - Odpow.normowy [MPa]
3	Rygiel	29.85	31.87	61.47	47.93	63.50	57.6	38, C30/37
8	Ława podł.	25.88	29.04	43.46	47.24		45.4	28, C16/20
12	Ustrój	43.23	44.85	91.20	84.70	77.86	84.6	98, C90/105

Interpretacja wyników zamieszczonych w Tablicy 3.6. jest bardziej złożona niż w przypadku wyników badań na ściskanie *in-situ*.

W tablicy zamieszczono uzyskane wartości E_{cm} , oraz wyniki ściskania próbek *in-situ* z badanych na E_{cm} rdzeni 3, 8, 12. Tzn. po teście na E_{cm} , próbki docięto do nominalnych wymiarów $d=10/h=10$ cm i poddano ściskaniu. Na tej podstawie wyznaczono wartość f_{cm} charakteryzującą badany materiał. Ostatnia kolumna jest odczytem $f_{cm}(E_{cm})$ z Tablicy 1.3, w funkcji podanych tam wartości dla wyznaczonej w teście E_{cm} . W rezultacie otrzymano możliwość bezpośredniego porównania E_{cm} z f_{cm} oraz pośrednio sprawdzenie normowej relacji $f_{cm}(E_{cm})$.

Jedynie w przypadku wyznaczania $E_{cm(12)}$ na próbce 12 mamy pełną zbieżność między $E_{cm(12)} = 44,85$ GPa a wysokimi wartościami w Tablicy 2.1.

- Ende gut, alles gut